

Resistance detection to *Fusarium oxysporum* by microsatellite markers (SSRs) in carnation



Thank to organizer committee



Resistance detection to *Fusarium oxysporum* by microsatellite markers (SSRs) in carnation

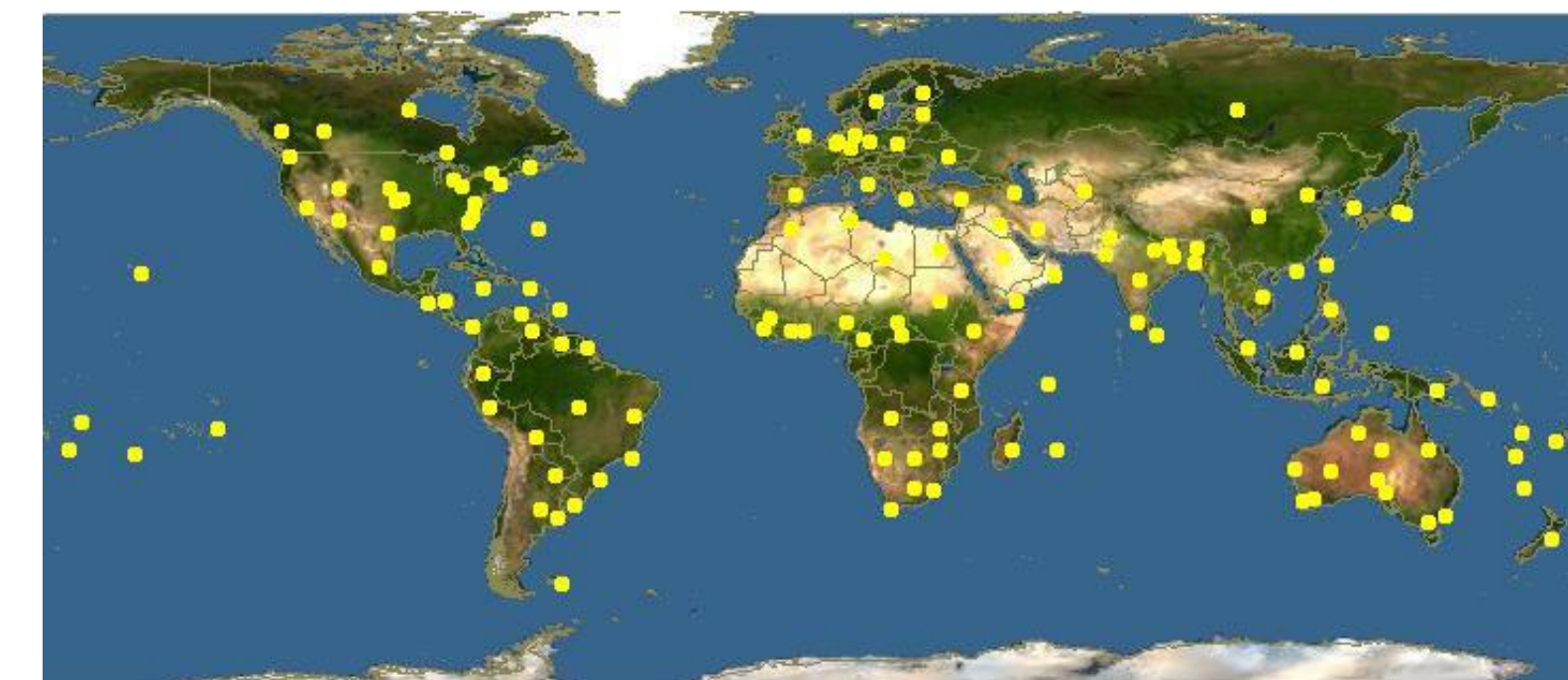
Juan J. Filgueira, Laura M. Perilla, Diana M. Ríos

Laboratorio de Biotecnología Vegetal, Campus Nueva Granada, Facultad de Ciencias Básicas Cajica,
Universidad Militar Nueva Granada juan.Filgueira@unimilitar.edu.co

Fusarium oxysporum (FOX)

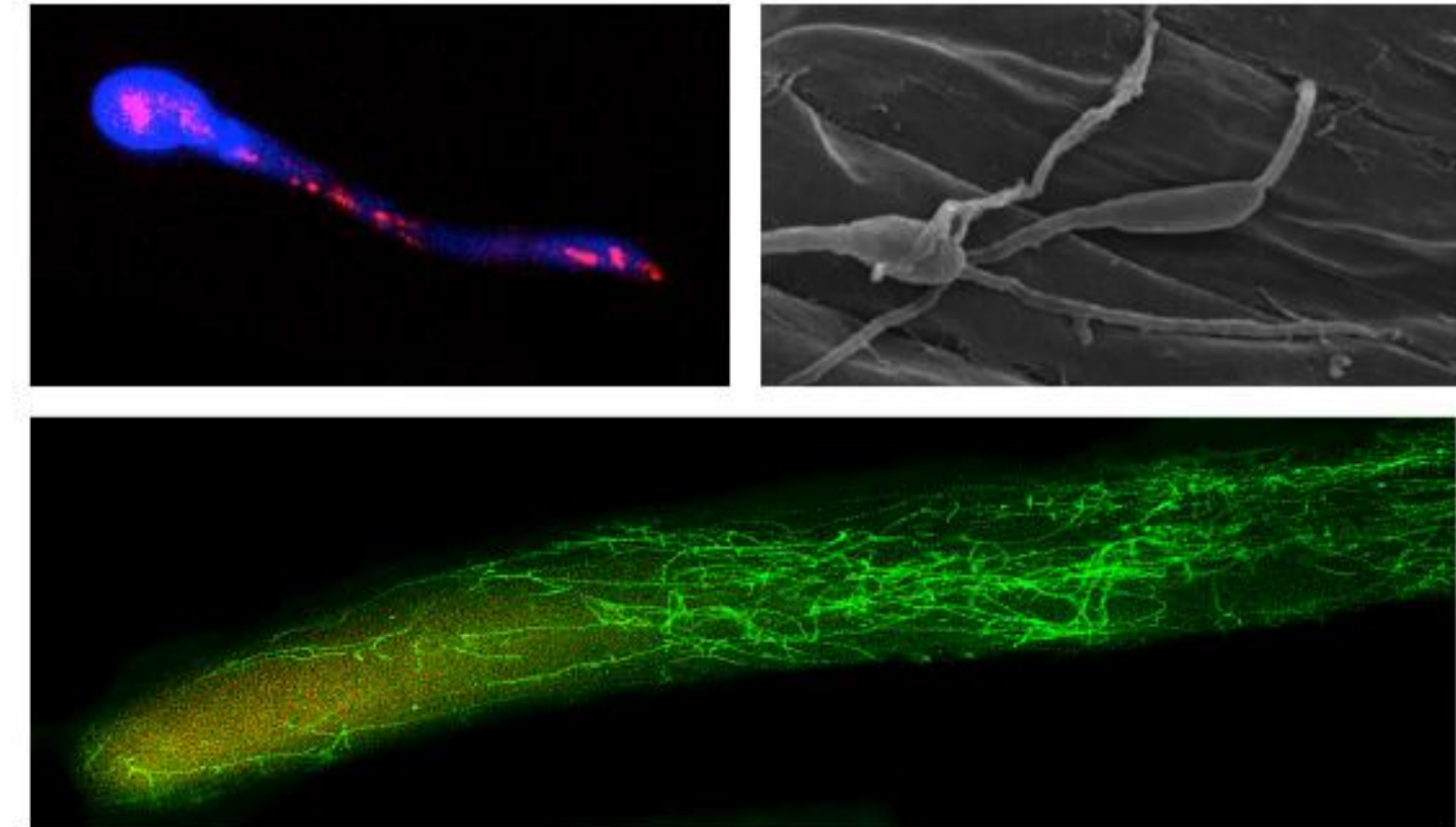


World distribution



Risk Levels of Invasive *Fusarium oxysporum* f. sp. in Areas Suitable for Date Palm (*Phoenix dactylifera*) Cultivation under Various Climate Change Projections
•Farzin Shabani , Lalit Kumar

Recent works demonstrate that some regions in the *Fusarium* chromosome suffer permanent reorganization. That suggest sophisticated mechanisms to increase the genetic variability and the virulence mechanisms.



http://www.uco.es/ingenhongos/invest_lineas_pietro.php

Señalización y patogénesis en hongos

Responsable: Antonio Di Pietro

Genome Biol. 2008; 9(1): R18.

Published online 2008 Jan 24. doi: [10.1186/gb-2008-9-1-r18](https://doi.org/10.1186/gb-2008-9-1-r18)

PMCID: PMC2395248

Evidence for horizontal transfer of a secondary metabolite gene cluster between fungi

Nora Khaldi,^{#1} Jérôme Collemare,^{#1} Marc-Henri Lebrun,² and Kenneth H Wolfe¹

In 2016, Colombia exported 225.000 tons of flowers for 1.100 million of USD to 90 countries around the word, carnation was the 53% of this production; this equivalent to more than 600 million of USD (Asocolflores, 2017).



Carnation Fusariosis

Filgueira Duarte J.J., 2007. Ataque al clavel. Agricultura de Las Americas 368: 28-33.

Filgueira, J.J.: 2009. Estudio y manejo de la pudrición basal producida por hongos del complejo Fusarium en clavel comercial en la Sabana de Bogotá. Asocolflores 72, p53-54.

Filgueira, J.J.: 2011. Experiencias en mejoramiento de clavel *Dianthus cariophyllus*. 1^a Ed. Bogotá: Universidad Militar Nueva Granada. ISBN 978-959-8403-41-0.

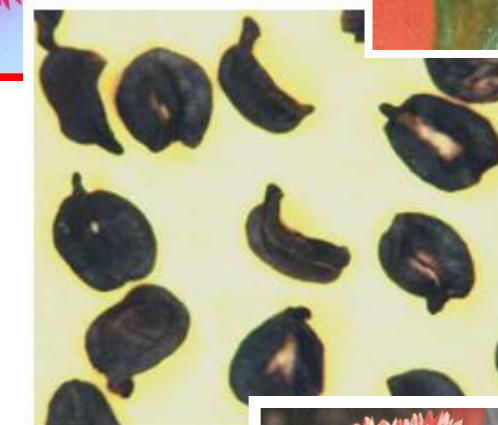
UM 787



Lp x Ct 22B

EVALUACION FLORAL

Color base: 50B
Color(es) secundarios: 53A
Distribución del color: E, M, P
pétalos: 28
Borde de pétalos: Aserrado
Forma cáliz: Campanulado
Forma corola en estado 3: Convexa
Diámetro de la corola en estado 3: 6.7
Defectos de la flor: Desteñido
Longitud del tallo al 7º nudo en cm.: 21.5
Peso de tallo en gr.:
Fortaleza: Media
Tipo (Estándar, Miniclavel o Spray): Es



12.000 Cultivars

EVALUACION DE RESISTENCIA

PLANTULA <i>F. oxysporum:</i> R <i>F. roseum:</i> R	ENSAYO DUAL <i>F. oxysporum:</i> R <i>F. roseum:</i> R	POTS <i>F. oxysporum:</i> R <i>F. roseum:</i> S	TOTAL Rs <i>roseum:</i> RR <i>oxys:</i> RRR
---	--	---	---

LABORATORIO (HISTORIAL)

Fecha de introducción: Nov.11.04
Duración en el lab:
Índice de propagación:
Fecha(s) de reintroducciones al laboratorio:

CAMPO (HISTORIAL)

% de supervivencia al transplante de bandeja a suelo: May.29.05: 38%
Jul.29.05: 95%
Fecha(s) y cantidad de plantas sembradas: Jul.12.05; 18
Sep.08.05; 19
de evaluaciones:

LABORATORIO (ESTADO ACTUAL)

Estado (1,2,3,4)*:
Cantidad:

HIBRIDACION

Seleccionada para cruces:
Semillas obtenidas:
Características para la hibridación

Observaciones:
variegado

Quedan las plantas control, el resto fueron infectadas con *Fusarium*. No hay stock en el lab. Tesis Carol Quinche

CAMPO (ESTADO ACTUAL)

Estado (1,2,3,4,5)**:
Cantidad: 2, 3
Ubicación: Cama 1 y 8

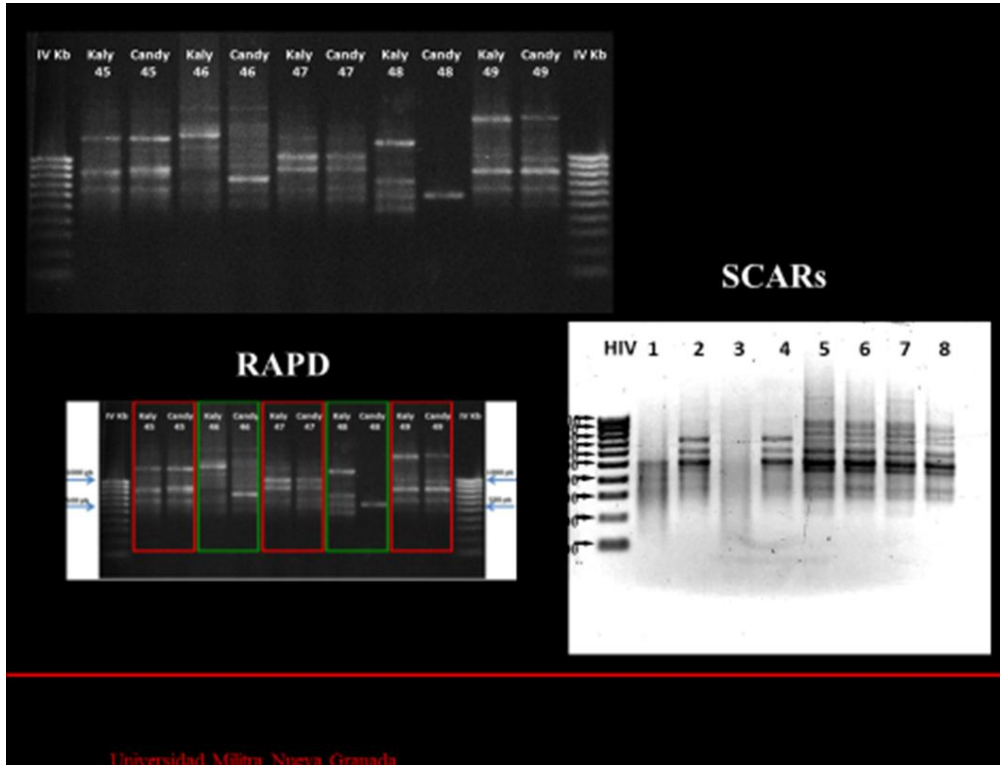
*1: meristemo; 2: pase a medio sólido; 3: propagación; 4: ambientación

**1: plántula; 2: brotación; 3: formación de tallos florales; 4: floración; 5: poda



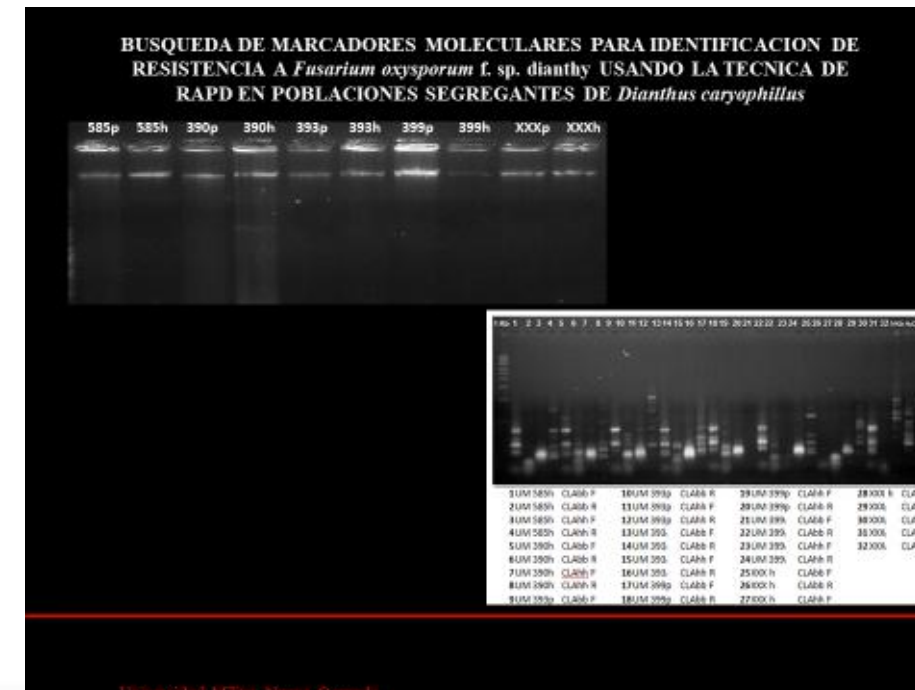
UNIVERSIDAD MILITAR
NUEVA GRANADA

Random Amplification of Polymorphic DNA RAPDs



Marcador	RAPDs	#	Secuencia	SCARs	Secuencia	Tamaño esperado
Susceptibilidad	OPB15	35	GGAGGGTGT	1RSCF	CCTGGCCGATACCCATGGC	448pb
				1RSCR	AGGGGCCAGTGCAGCAATC	
Susceptibilidad	OPT16	396	GGTGAACGCT	2RSCF	CCCTGGCCGATACCCATGG	438pb
				2RSCR	CGCGAAATCCCCCGCACT	
Resistencia	OPB10	30	CTGCTGGGAC	1RRCF	TTGAGCACAGGTGCGAG	277pb
				1RRCR	CCTGGCTTCTAAGATTGC	
Resistencia	OPM09	249	GTCTTGCGGA	2RRCF	TCGGGCACGGTCGGAC	236pb
				2RRCR	TGCCGGATATAGTGGTGTGATT	
Resistencia	OPM15	255	GACCTACCAC	3RRCF	ATCGGGCACGGTCGGACTCA	254pb
				3RRCR	CCTGGCTTCTAAGATTGCCGGAT	

Sequence-Characterized Amplified Region SCARs

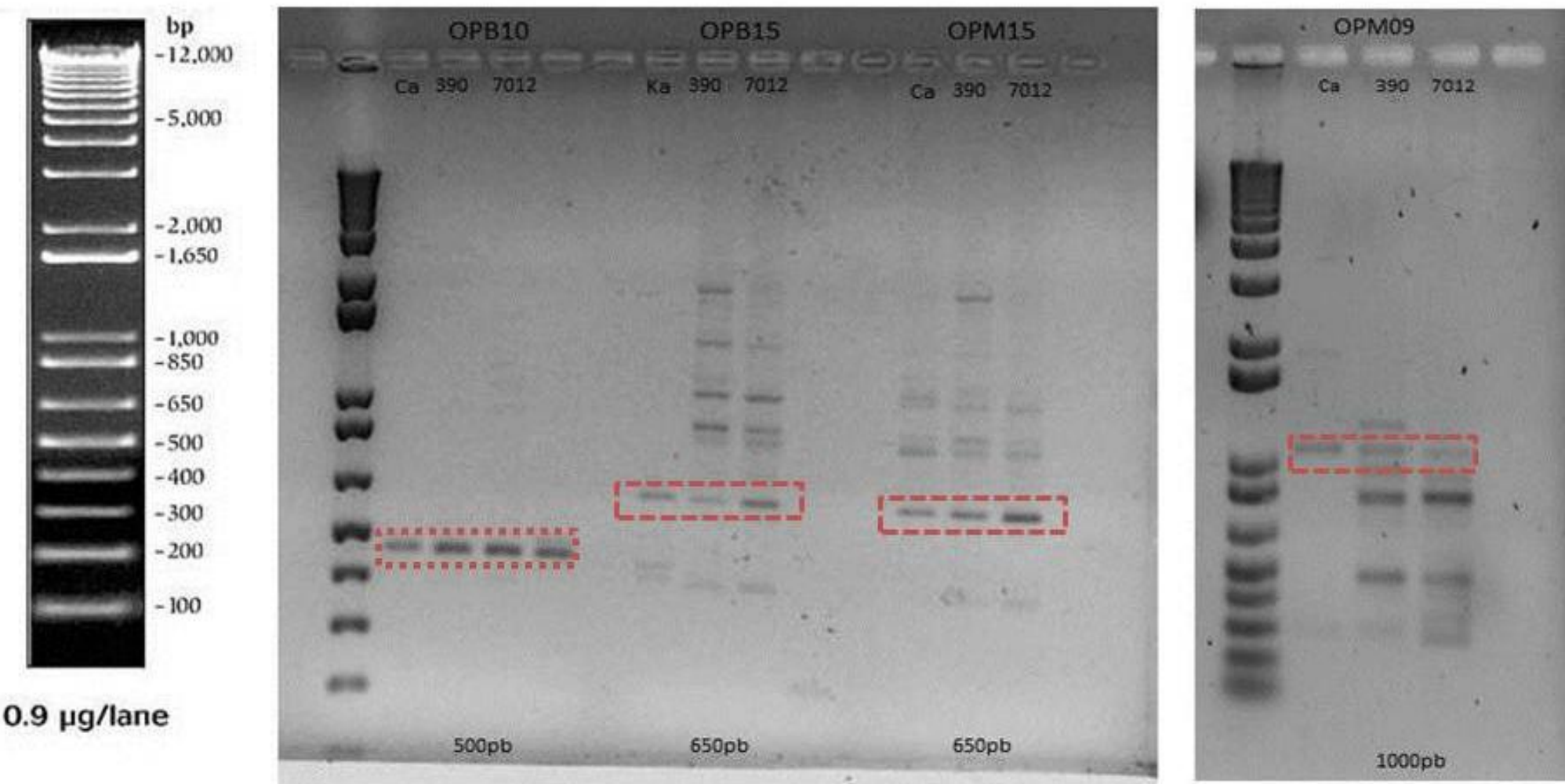


BUSQUEDA DE MARCADORES MOLECULARES DIRIGIDOS A LA RESISTENCIA DE *Fusarium oxysporum* f.sp. *dianthy* EN CLAVEL *Dianthus caryophyllus* UTILIZANDO TECNICAS DE RAPD's.

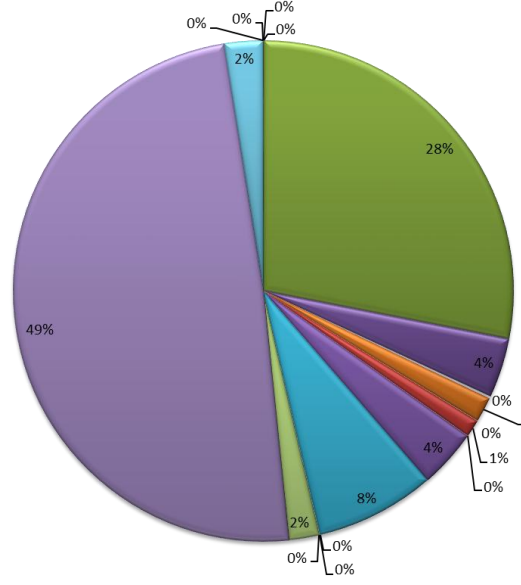
Niño, A¹., Flores, X²., Filgueira, J.J³.

Grupo de Investigación en Fitopatología Molecular, Facultad de Ciencias Básicas y aplicadas , Universidad Militar Nueva Granada

Disappearance of polymorphisms in successive generations

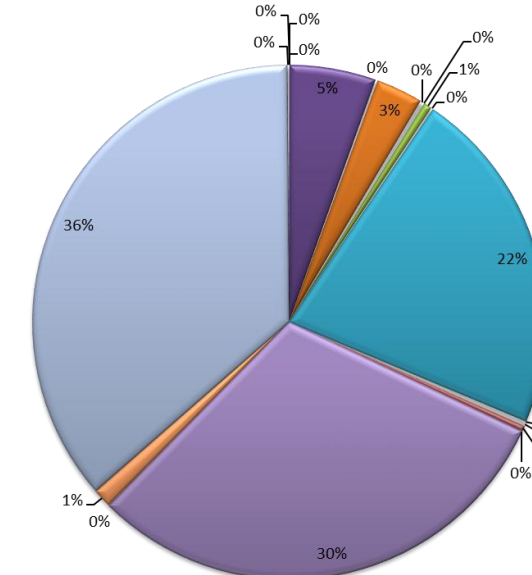


Expressome of resistant varieties



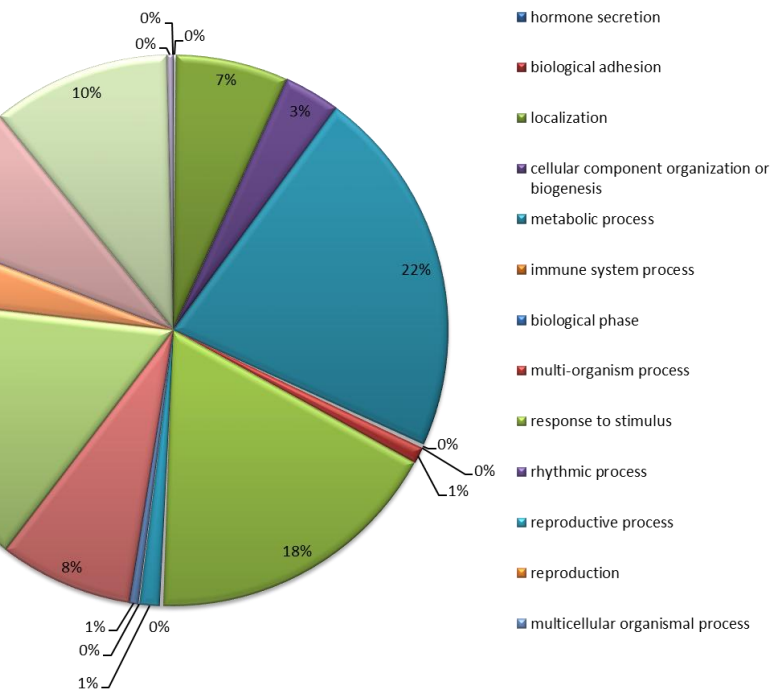
Legend for cellular locations:

- membrane-enclosed lumen
- cell
- organelle
- extracellular region
- extracellular region part
- macromolecular complex
- collagen trimer
- membrane part
- extracellular matrix
- Unclassified
- membrane
- virion part
- nucleoid
- synapse
- cell junction
- cell part
- organelle part
- synapse part
- extracellular matrix part



Legend for biological processes:

- metallochaperone activity
- morphogen activity
- nutrient reservoir activity
- transporter activity
- guanyl-nucleotide exchange factor activity
- nucleic acid binding transcription factor activity
- receptor activity
- receptor regulator activity
- enzyme regulator activity
- antioxidant activity
- Unclassified
- protein tag



Obtaining of the commercial Carnation (*Dianthus caryophyllus*) transcriptome
during the *Fusarium oxysporum* interaction: A new strategy

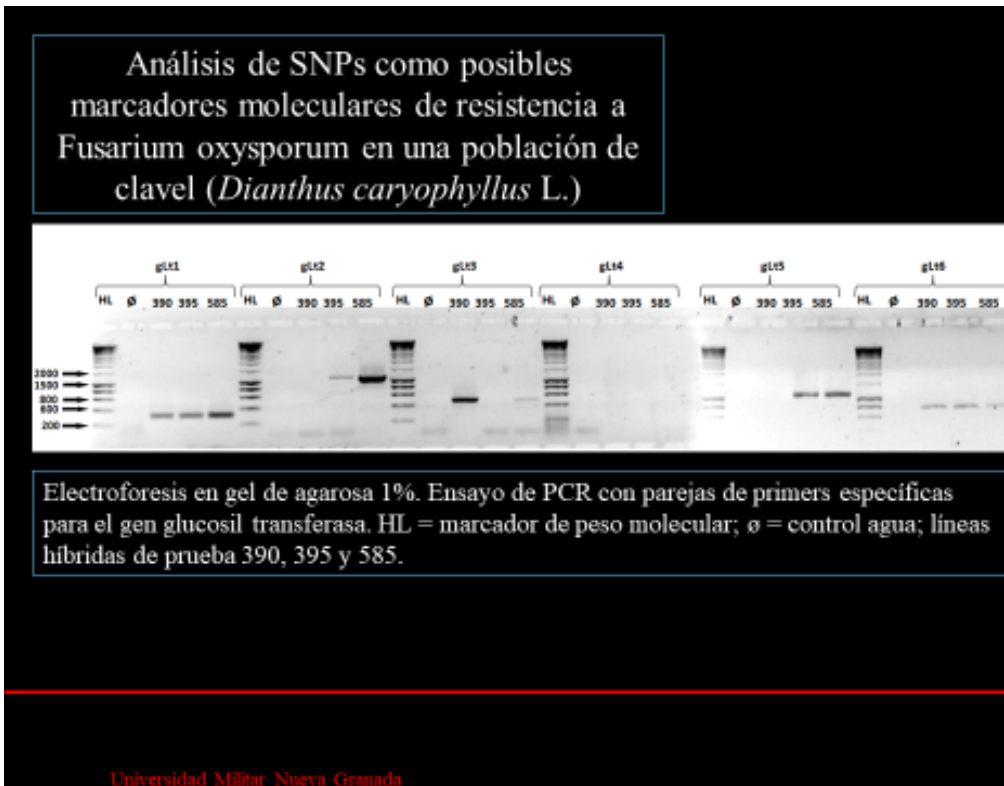
Filgueira-Duarte, J.J.

Plant Biotechnology Laboratory, Faculty of Basic and Applied Sciences, Military
University Nueva Granada Cajica, Colombia.

Potential genes to Fusarium response in carnation

1. Malate dehydrogenases
2. Peroxidases
3. α and β -amylases
4. Polygalacturonases inhibiting protein
5. Phytoalexines
6. Receptor-Like Kinase
7. Chitinases
8. Glucanases
9. Glucosidase
10. Salicylic acid mediated signaling pathway
11. Jasmonic acid mediated signaling pathway
12. Catalases
13. Aldose 1-epimerase
14. Thaumatin-like protein

Single-Nucleotide Polymorphism SNPs



#	accesion	Ref. Primer	Gen	asociación a defensa en plantas	Ref. Bibliográfica
1	Z98758.1	ANB	Anthraniato N-benzoiltransferasa	cataliza la reacción comprometida con la biosíntesis de fitoalexinas conocidas como diantramidas y diantalexinas .	Baayen y Niemann. 1985; Yang, et al., 1997
2	E24627.1	Erg	Receptor de Etileno	activación de respuestas como abscisión de hojas, nodulación de raíces, muerte celular programada, la respuesta al estrés y al ataque de patógenos	Guo y Ecker, 2004
3	AB294392.1	gLT	Glucosil Transferasa DcS1G1	transferasa de azúcar glucósido, involucrado en la defensa de la planta para la biosíntesis de flavonoides y de ácido salicílico	Stich, et al., 1992; Song. 2006
4	AB041361.1	Phe	Fenilalanina Amonio Liasa (Dcpal1)	biosíntesis de fenoles por varias vías, activadas por condiciones de estrés y una mayor tolerancia en particular a <i>F. oxysporum</i>	Ardila, et al., 2011
5	U82432.1	Ant	Antocianidina Sintasa (ANS)	en pigmentación y acumulación de 3-deoxiantocianidinas es una rápida respuesta de defensa a la presencia de compuestos fúngicos	Hammerschmidt, 1999; Close y Beadle, 2003; Treutter, 2006
6	DT214807.1	Prx	Homólogo a peroxidasa (Dc850)	proporcionar poder oxidante del peróxido de hidrogeno, reacciones de cross-linking engrosamiento de pared celular , significación de la pared vegetal, ácido benzoico dihidrogenasa que aumenta los niveles de ácido salicílico y conduce a la respuesta hipersensible.	Hoeberichts, et al., 2003; Agrios, 2005

BÚSQUEDA DE POLIMORFISMOS GENÉTICOS EN UNA POBLACIÓN DE CLAVEL (*Dianthus caryophyllus* L.) RESISTENTE A LA ENFERMEDAD VASCULAR CAUSADA POR *Fusarium oxysporum* f.sp. *dianthii*

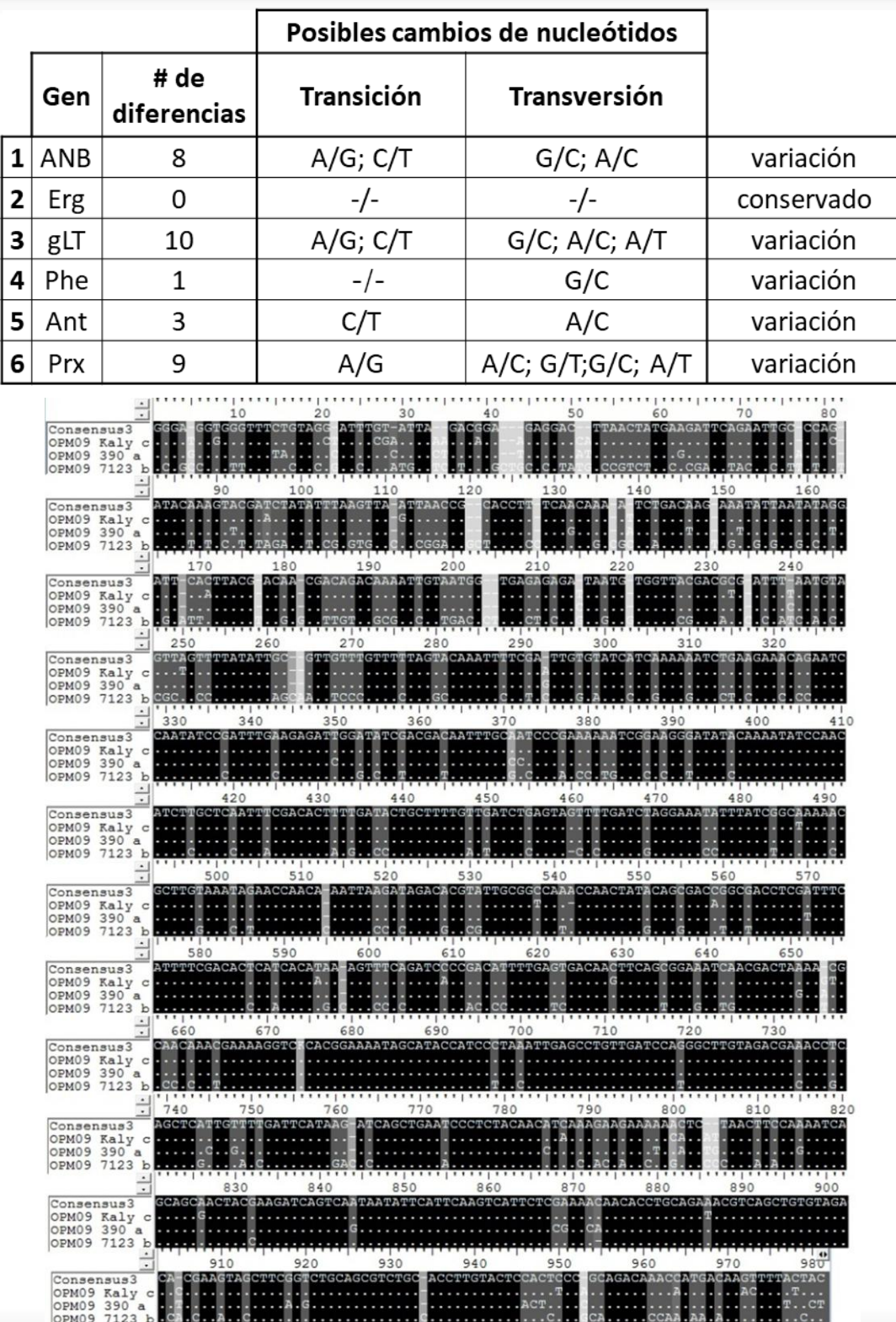
Pontificia Universidad Javeriana Facultad de Ciencias

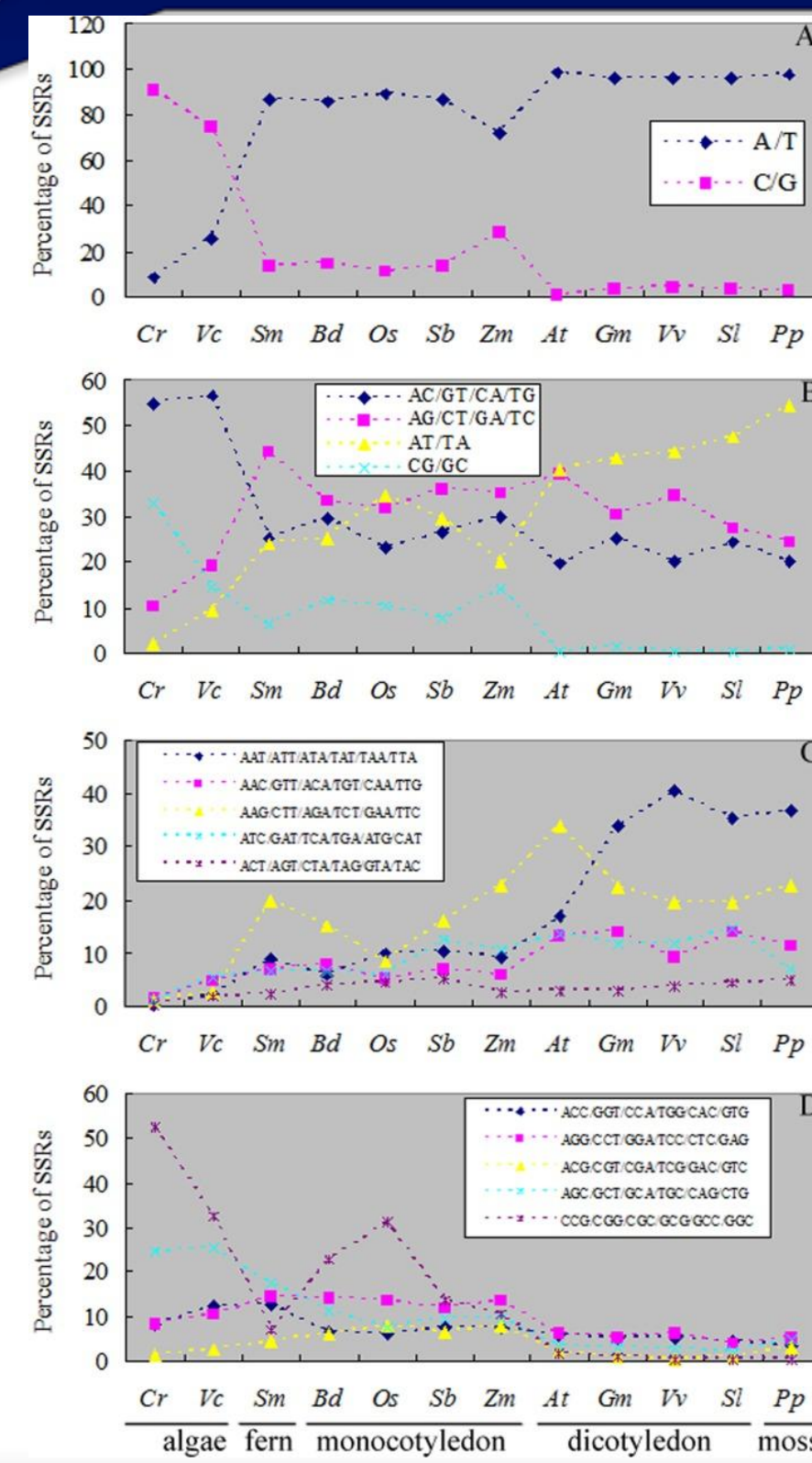
Maestría en ciencias biológicas

Guillermo Andrés Buraglia Osorio

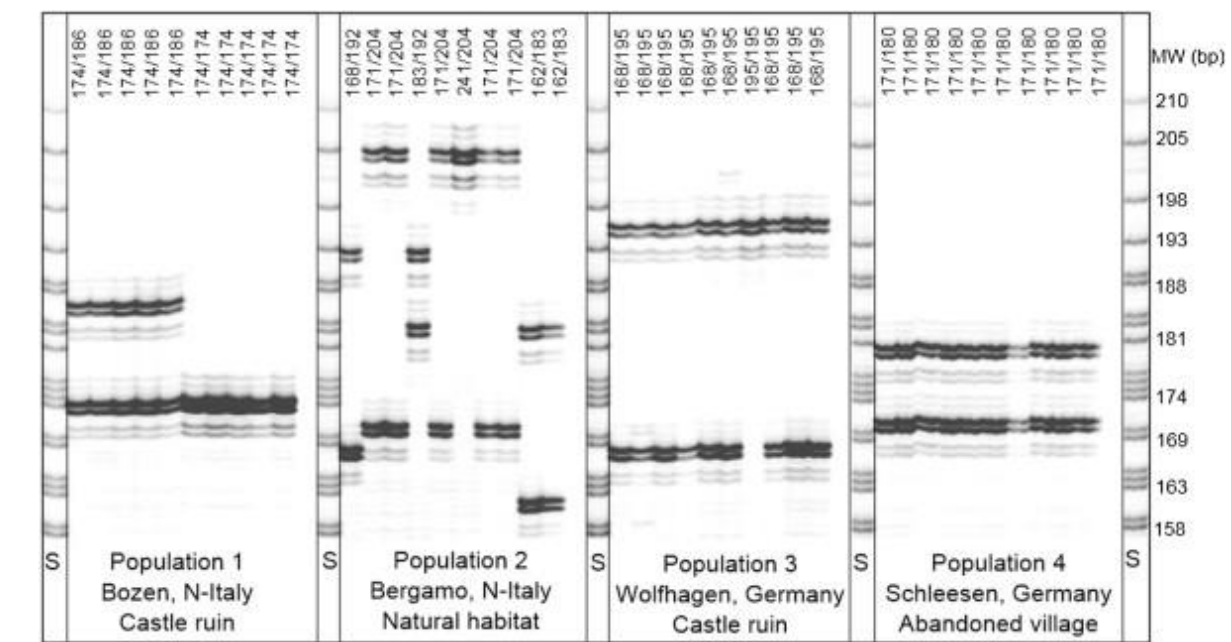
Director: M.Sc. Dr. Sc. Juan José Filgueira

SNP	posición	P ₀		F1				F2					
		Candy (RRR)	Kaly (SSS)	390 (RRR)	393 (RRR)	399 (RRR)	400 (RRR)	385 (SSS)	7123 (RRS)	7152 (RRR)	7020 (RRR)	7010 (RRR)	7045 (RRR)
GEN 1	1 4	G	G	G	G	A	G	G	G	G	G	G	G
	2 20	T/C	T	T	T	T/C	T	T/C	T	T	C	T	T/C
	3 56	A/G	A/G	A/G	A/G	G	A/G	G	G	G	A/G	G	
	4 209	G/A	G/A	A	A	G	A/G	G	A	G	G	G	
	5 218	G/A	G/A	A	A	G	A	G	A	G	A	G	
	6 273	T	G	G	G	G	G	G	G	G	G	G	
	7 284	G/A	A/G	G	G/A	A/G	G	A	G/A	G	G	G	A/G
	8 317	A	A	A	A	A	A	A	C	A	A	A	
GEN 2	N/A 0	-	-	-	-	-	-	-	-	-	-	-	-
GEN 3	1 52	C	A/C	A	A	A	A	A	A	A	A	C	
	2 81	A	A/C	C	C	C	C	C	A*	C	C	A*	
	3 219	G	A/G	A	A	A	A	A	A	A	A	G*	
	4 243	C	T/C	T	T	T	T	T	T	T	T	C*	
	5 281	C	G/C	G	G	G	G	G	C*	G	G	C*	
	6 297	A	A/C	C	C	C	C	C	T*	C	C	A*	
	7 461	C	C/T	T	T	T	T	T	T	T	T	C*	
	8 540	T	T/A	A	A	A	A	A	T*	A	A	T*	
	9 554	G	A/G	A	A	A	A	A	A	A	A	G*	
	10 578	A	A	A	A	A	A	G	A	A	A	G	
GEN 4	1 15	C	C	C	C	G	C	C	C	C	C	C	
GEN 5	1 25	T	C/T	C/T	C/T	C/T	C/T	C/T	C/T	T	C	T	
	2 148	A	A/C	A/C	A/C	A/C	A/C	A/C	A/C	A	C	A	
	3 154	-	T	T	T	T	T	T	T	T	T	T	
GEN 6	1 4	A	A	G	A	A	A	A	A	A	A	A	
	2 5	G	G	T	G	G	G	G	G	G	G	G	
	3 32	C	C/T	C/T	C/T	C	C/T	C/T	C/T	C	T	C	
	4 136	G/T	G	G/T	G/T	G/T	G/T	G/T	G/T	G	G/T	G/T	
	5 323	G	G/A	G/A	G/A	G	G/A	G/A	G/A	G	A	G	
	6 332	C	C	C	C	C	A	C	C	C	C	C	
	7 338	G	G	G	G	G	A	G	G	G	G	G	
	8 341	A	A	A	G	A	A	G	A	A	A	A	
	9 346	C	C	C	G	C	C	C	C	C	C	C	
	10 350	A	A	A	T	A	A	A	A	A	A	A	





Simple Sequence Repeat (SSRs)



Format: AbstractSend to
PLoS One. 2015 Dec 2;10(12):e0144108.
doi: 10.1371/journal.pone.0144108.
eCollection 2015.
Evolution Analysis of Simple Sequence
Repeats in Plant Genome.
Qin Z1, Wang Y2, Wang Q1, Li A1, Hou F1
Zhang L1.

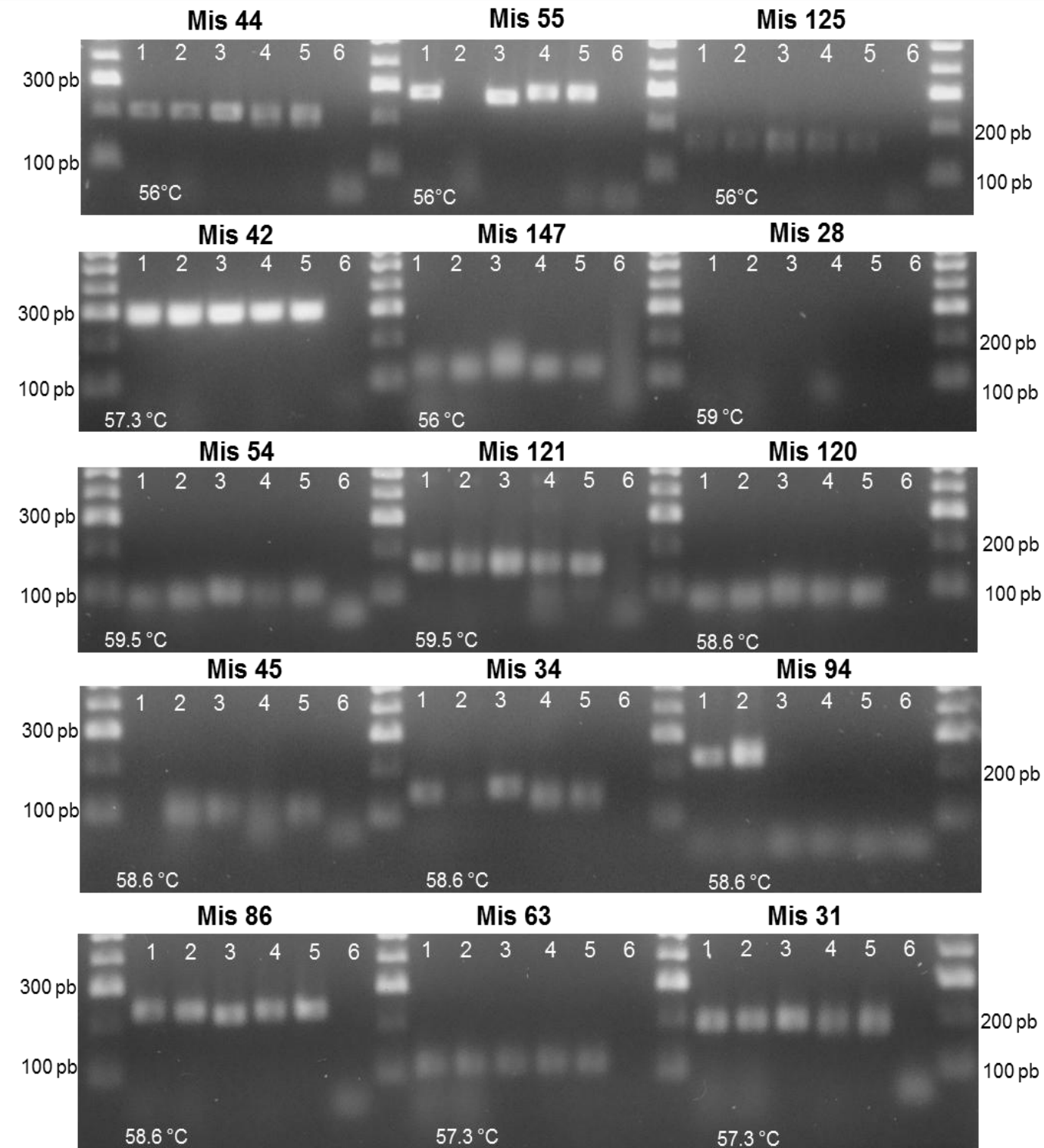
Yagi, M., Onozaki, T., Taneya, M., Watanabe, H., Yoshimura, T., Yoshinari, T., Ochiai, Y. and Shibata, M.: 2006. Construction of a Genetic Linkage Map for the Carnation by Using RAPD and SSR Markers and Mapping Quantitative Trait Loci (QTL) for Resistance to Bacterial Wilt Caused by *Burkholderia caryophylli*. J. Japan. Soc. Hort. Sci. 75(2), p166–172.

Smulders, M.J., Noordijk, M., Rus-Kortekaas, Y., Bredemeijer, W.M. and Vosman, G.B.: 2003. Microsatellite genotyping of carnation varieties. *Theor. Appl. Genet.* 106, p1191–1195.

Sequences of SSRs evaluated in F4, F5 carnation hybrids

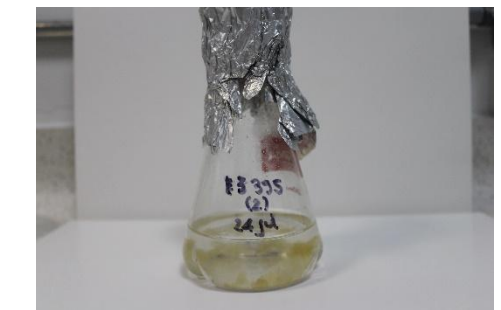
Consecutivo LAB UMNG	Nombre (Yagi <i>et al.</i> , 2012)	Tipo de Microsatélite	(Motivo SSR) Número de repeticiones	Forward primer (5' to 3') Reverse primer (5' to 3')	Tamaño Esperado(pb)
MiS 028	CES1657	ETS-SSR	(ACT)5	GGCGCTCACCTACTTCTGTC CGTTTCCGTAACGTACCT	202
MiS 031	GS0050	SSR Genómico	(AAG)17	GACATGGAAACAGGGGGAT GCAATTAAACAACACAACAGA	192
MiS 034	GS0311	SSR Genómico	(AAG)11	TGCATCAACCACAACAATAACA AGCTTCGTCGTATCACCTGC	144
MiS 042	GS0515	SSR Genómico	(ACT)5	CGCCGAGTTTCAGATGGTTA CCCGTGGAGAAATATGTGTTG	288
MiS 044	CES0738	ETS-SSR	(AACG)4	CAAACATTCGAGGGGAAA GAACGCTGGATCTGGAAAG	191
MiS 045	CES1287	ETS-SSR	(AATG)6	CCTCTCACTTTCTGCTGGC TGCAGGGGAGTTATGAGACA	103
MiS 051	CES1570	ETS-SSR	(AAAG)4	TAACTCAGCCGCGAGATTT GTCACTCGCTGTTCCCTTC	188
MiS 054	GS0458	SSR Genómico	(AAAC)4	CGGATTATAGGCCTGTAGTCGT GAGAATATGTCGTGGTGC	97
MiS 055	CES1789	ETS-SSR	(AATC)5	TCACCCCTAATTCTCAATCA CATCATCGCAGAACTGAAGA	282
MiS 063	CES2314	ETS-SSR	(AATC)4	TCAGGATTCTTGCTGGCT TGCAGAACAAATAATAGTCGTCA	110
MiS 068	DCEST07	ETS-SSR	(CCA)4	GCACGAAAACGCCCTATAG AGGTGGCGGTGGTATAATA	180
MiS 086	CES2374	ETS-SSR	(AAAC)4	TGGAAGGTTGGTACTACCGC TGTTCTGCCCTTCTTATGC	228
MiS 094	GS0393	SSR Genómico	(GGAT)6	GGAAGAAGAGGAAGGGTTGG AGATGTCCCAGCAAGTGTCC	233
MiS 119	CES0004	ETS-SSR	(AAG)11	AGGAAAATGGAGGGAGGAAA TACTCTGGGGGACACACTC	142
MiS 120	CF002	SSR Genómico	(AGAA)5	GGGAATGGATGAAAGAAAGATGG CGCTGGTTGGCTAATGGC	82
MiS 121	GS0333	SSR Genómico	(ACG)8	ACAGCGCAGATACGAGGAGT GCATGAGAGTGGGAAGAAG	162
MiS 125	CB008	SSR Genómico	(GTGA)6	ACTACGAACAAATGAAGGTGACTA TTCCCCCTCATAAATTGC	139
MiS 139	CES1989	ETS-SSR	(ACG)6	GAATCCGCCCTTCTTCTTC TCGACGACGTGTGAGTGAAT	157
MiS 141	GS0473	SSR Genómico	(AT)8	AAAATTATTATTGGGCATTGAA TTTGGCCACTGTCTTGTG	252
MiS 147	CES1808	ETS-SSR	(AATG)4	CCAAATCTCCGCCATTAAAA GTTCGACCCGACATTCTGTT	118

SSRs Amplicons in six different carnation varieties, resistant and susceptible.



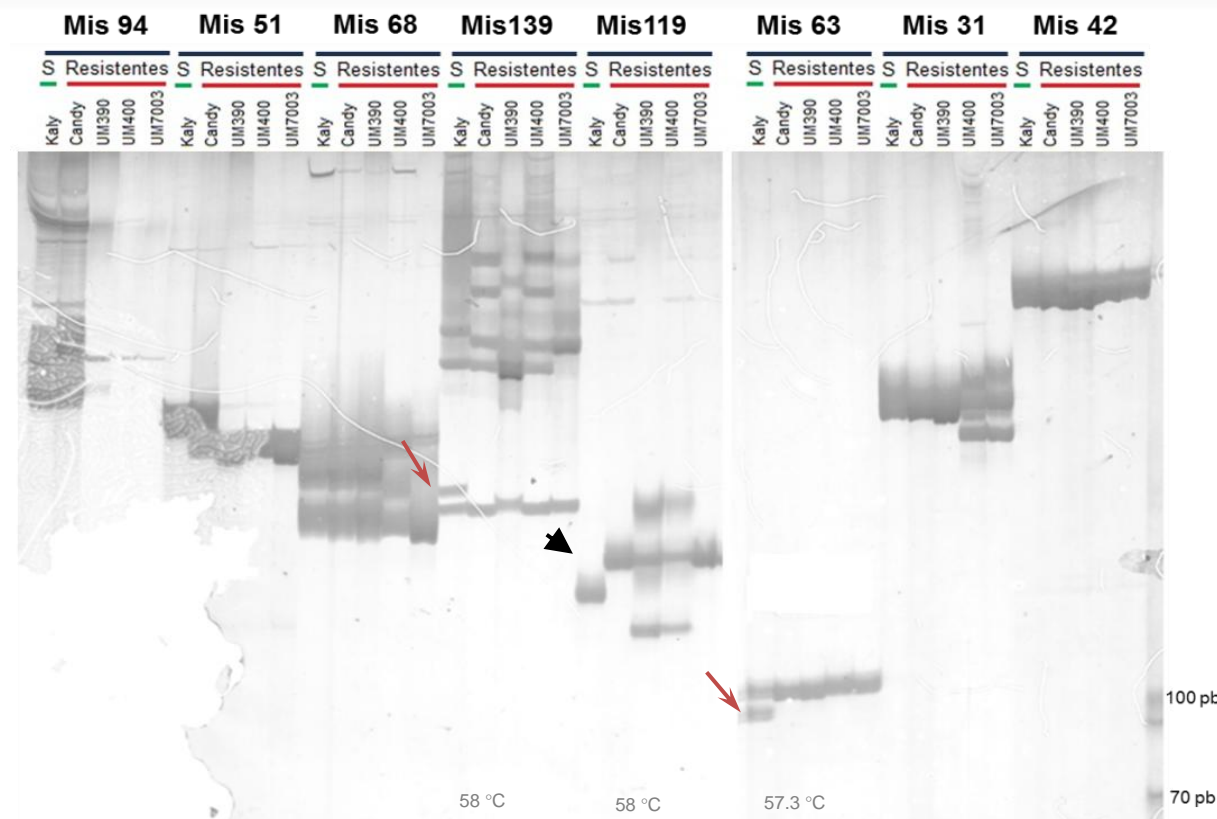


Evaluation of resistance (RRR)





Polymorphisms evaluation in 15 loci.



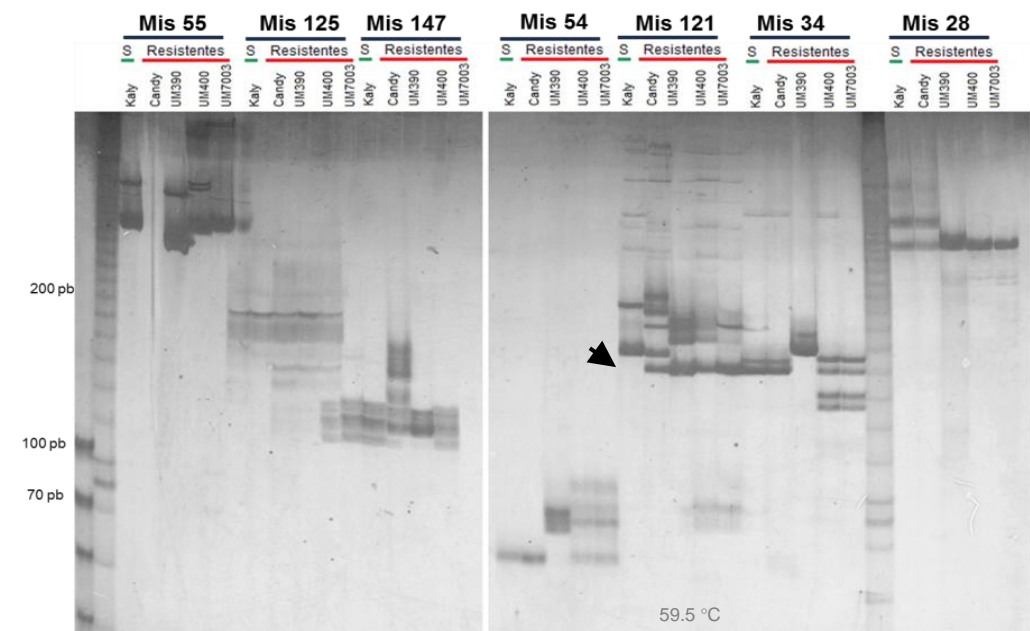
58 °C

58 °C

57.3 °C

100 pb

70 pb

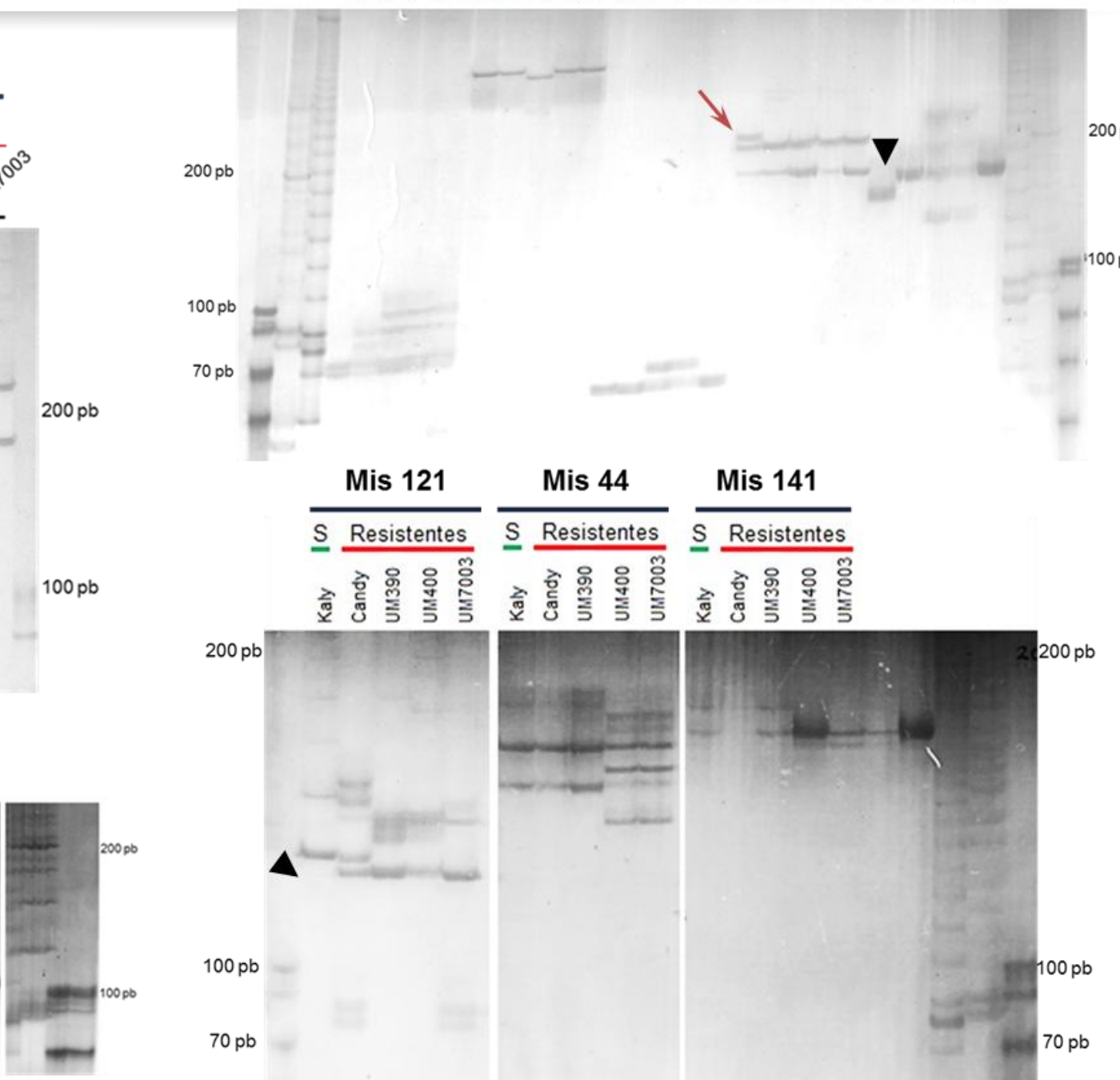
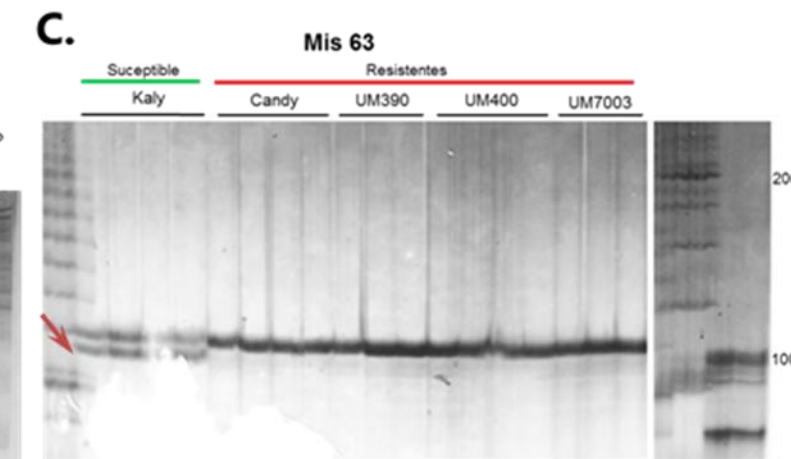
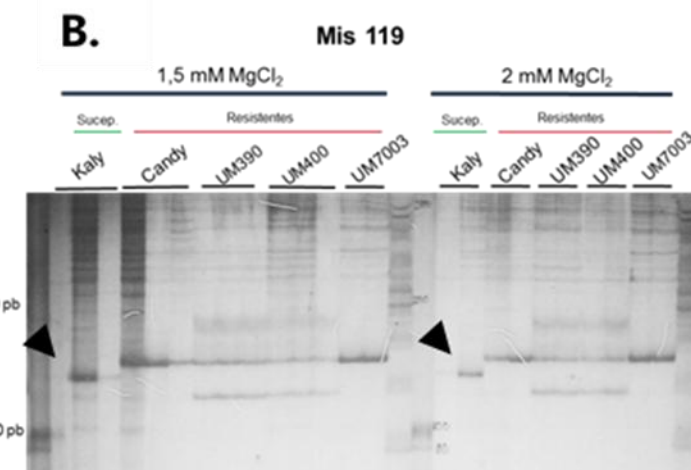
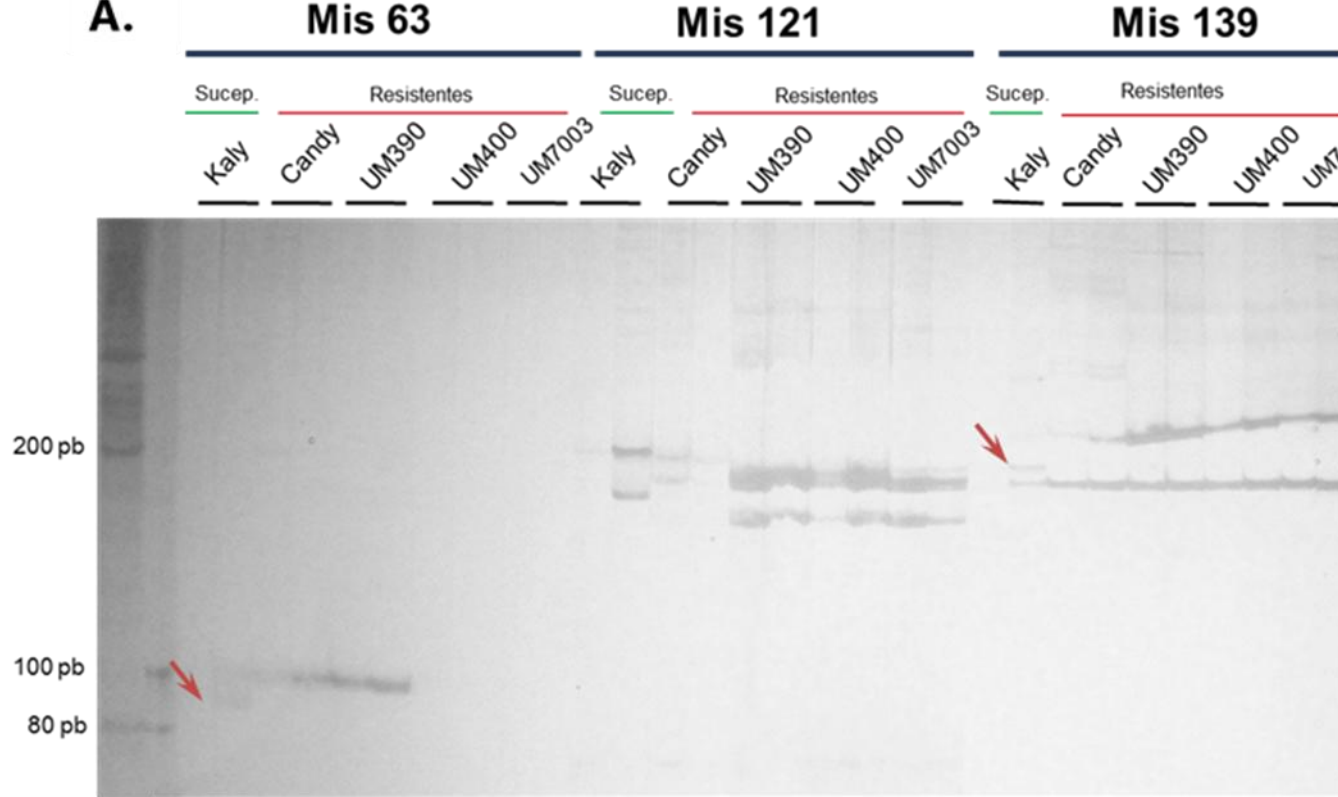


200 pb

100 pb

70 pb

59.5 °C



Production of Carnation breeding program Po, F1, F2, F3, F4, F5



SSRs related with resistant and susceptible varieties

Consecutivo LAB UMNG	Tipo de Microsatélite	(Motivo SSR) No. Repeticiones	Tamaño Aproximado	Polimorfismo asociado a resistencia (Observado en clavel resistente)	Detección	Tempera- de 'Anne- [MgCl] lización'
MiS 063	ETS-SSR	(AATC)4	110 pb	Ausencia de banda de menor peso molecular	Poliacrilamida	57,3°C [1.5 mM]
MiS 119	ETS-SSR	(AAG)11	140 pb	Presencia de banda de mayor peso molecular	Poliacrilamida	58°C [1.5 mL ó 2mL]
MiS 121	SSR Genómico	(ACG)8	150 pb	Presencia de banda de menor peso molecular (105 pb)	Poliacrilamida y Electroforesis Capilar (MultiNA)	59,5°C [1.5 mL]
MiS 139	ETS-SSR	(ACG)6	155 pb	Ausencia de banda de mayor peso molecular	Poliacrilamida	58,6 °C [1.5 mL]

Thanks

